

اثر برهم کنشی پراکسید هیدروژن و نانوفتوکاتالیست‌های احتراقی در حذف مواد رنگزای از محیط‌های آبی

ماهک آزادی^۱، امیر حسام حسنی^۱، محمد ابراهیم علیا^{۲*}، سید مهدی برقعی^۱

^۱ گروه مهندسی محیط زیست، دانشکده محیط‌زیست و منابع طبیعی، دانشگاه آزاد اسلامی، واحد علوم و تحقیقات تهران، ایران

^۲ گروه محیط زیست و رنگ، پژوهشگاه رنگ، تهران، ایران

^۳ گروه مهندسی شیمی و نفت، دانشکده مهندسی شیمی دانشگاه صنعتی شریف، تهران، ایران

تاریخ دریافت مقاله: ۱۳۹۷/۸/۹؛ تاریخ پذیرش: ۱۳۹۷/۱۱/۲۹

چکیده

زمینه و هدف: نظر به آلودگی پساب‌های صنعت نساجی بعنوان یکی از بزرگترین مصرف کنندگان آب و بدليل دارا بودن مواد رنگزای آلی زیست تخریب ناپذیر، در این پژوهش اثر برهم کنشی پراکسید هیدروژن و نانوفتوکاتالیستها در فرایند اکسیداسیون پیشرفت‌هه با بررسی پارامترهای موثر در تخریب آلاینده‌ها مورد مطالعه قرار گرفت.

مواد و روش‌ها: در این پژوهش به منظور بررسی اثر پراکسید هیدروژن بر رنگبری رنگزای اسید قرمز ۱۸ و تاثیر استفاده همزمان نانوفتوکاتالیست، در ابتدا ذرات کاتالیست ZnO:Ag:Nd به روش احتراقی سنتز شد. آنالیزهای میکروسکوپ الکترونی روشنی گسیل میدانی (FESEM) طیف سنجی پراش اشعه ایکس (EDS) پراش اشعه ایکس (XRD) برای شناسایی مشخصات کاتالیست انجام شد سپس تأثیر پارامترهای عملیاتی مهم از جمله غلظت رنگزا ($10-30 \text{ ppm}$)، pH($3-9$)، مقدار فتوکاتالیست ($1-10 \text{ g.L}^{-1}$) (دما ($50-30^\circ\text{C}$))، غلظت پراکسید هیدروژن ($F=11-22$) مورد بررسی قرار گرفت. مدلسازی فرایند با استفاده از روش سطح پاسخ انجام شد.

یافته‌ها: نتایج این مطالعه نشان داد با افزودن پراکسید هیدروژن به ذرات فتوکاتالیست راندمان رنگبری افزایش یافته اما افزودن کاتالیست به مقدار بهینه پراکسید هیدروژن موجب کاهش راندمان رنگبری گردید. همچنین شرایط بهینه فرایند برای حذف ماده رنگزا پسوند (pH=۶/۲۱) و مقدار فتوکاتالیست ($10-20 \text{ g.L}^{-1}$) بست آمد. نتایج مطالعات ترمودینامیکی گرماکبر بودن فرایند را نشان داده و مدلسازی فرایند بیانگر انطباق مناسب نتایج تئوری و تجربی بود.

نتیجه‌گیری: بر اساس نتایج بدست آمده فرایند استفاده از کاتالیست و پراکسید هیدروژن تکنیک کارآمد جهت حذف رنگزای از منابع آبی می‌باشد.

کلمات کلیدی: نانوفتوکاتالیست، پراکسید هیدروژن، روش سطح پاسخ

فاز به فازی دیگر منتقل نمایند، لذا در میان روش‌های مختلف، روش‌های بر پایه اکسایش پیشرفت‌ه (AOPs) (Advanced oxidation processes) قادر به تخریب ساختار آلاینده‌های آلی و کانی سازی آنها می‌باشند، به طور گسترده‌ای بررسی شده‌اند.^{۱۰,۱۱} اکسیداسیون پیشرفت‌ه در برگیرنده مجموعه فرایندهایی است که برای حذف مواد آلی از آب و پساب طی واکنش‌های اکسایش با رادیکال‌های هیدروکسیل طراحی شده‌اند. در این روش به شیوه‌های مختلف، رادیکال‌های فعال هیدروکسیل، OH[−]، تولید می‌شوند.^{۱۰,۱۲} قدرت اکسید کنندگی بسیار بالای رادیکال‌های هیدروکسیل امکان حذف کامل بیشتر آلاینده‌ها، به ویژه آلاینده‌های آلی را فراهم می‌آورد.^{۱۳} روش‌های زیادی در تعریف گسترده اکسایش پیشرفت‌ه طبقه بندی می‌شوند. بسیاری از این روش‌ها، شامل ترکیبی از واکنشگرهای اکسید کننده قوی (همانند O₂ و H₂O₃) یا کاتالیست (همچون فلزت واسطه) و تابش (نور فرابنفش UV و یا مرئی) می‌باشند.^{۱۴} از بین بسیاری از فرایندهای اکسیداسیون پیشرفت‌ه، استفاده از نانوفتوکاتالیست‌ها به دلیل بالا بودن سطح ویژه، اندازه مناسب و خصوصیات نوری، الکتریکی و کاتالیستی وابسته به ساختارشان، پتانسیل زیادی بعنوان یکی از روش‌های مناسب تصفیه آلاینده‌های سخت تجزیه پذیر مطرح هستند.^{۱۵,۱۶} در میان انواع نانوفتوکاتالیست‌ها مطالعات گسترده‌ای بر روی ZnO-TiO₂-ZnO انجام گرفته که این ذرات فتوکاتالیست را بعنوان روش کارامد و ارزان، با قدرت اکسیداسیون بالا غیر سمتی و با پایداری طولانی مدت برای تخریب آلاینده‌های پساب مطرح کرده است.^{۱۷,۱۸}

ZnO یک فتوکاتالیست نیمه رسانا است که با دریافت نور با انرژی مناسب (بزرگتر یا مساوی باند گپ)، یکی از الکترونهای خود را از لایه ظرفیت اوربیتال مولکولی، به لایه رسانش منتقل کرده، یک حفره، h⁺، در لایه ظرفیت و یک بار

مقدمه

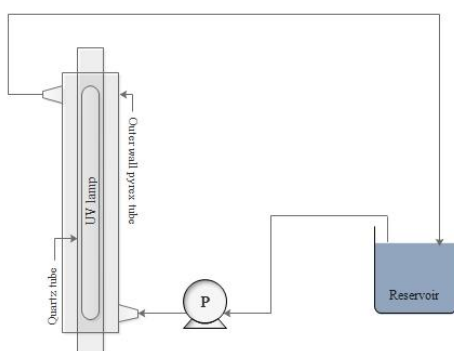
افزایش روز افزون جمعیت جهان و به دنبال آن رشد صنایع، موجب افزایش تقاضای آب و کاهش منابع آب شده است.^۱ از طرف دیگر توسعه صنعتی با رهاسازی آلاینده‌های سمی همچون رنگزها و ترکیبات فنلی، تهدیدی برای محیط زیست و سلامتی انسانها محسوب می‌شود.^۲ رنگزها دسته مهمی از مواد شیمیایی هستند که در صنایع نساجی، غذایی، چاپ، چرم، لوازم آرایشی و... کاربرد دارند.^۳ سالانه بیش از ۷۰٪^x مواد رنگی در جهان تولید شده و بیش از ۱۵٪^x مواد رنگزای مورد استفاده در کارخانجات تولید رنگ و صنایع نساجی، در طول فرایندهای سنتز و رنگرزی، وارد محیط زیست می‌شوند.^۴ در میان رنگزها، رنگزای آزو که بیش از ۵۰٪ درصد رنگزهای تجاری را تشکیل میدهدن مهمترین گروه رنگزا محسوب می‌شوند که می‌توان آنها را با حضور یک باند N=N- یا بیشتر توصیف کرد.^{۵,۶} رنگزها از ترکیبات حلقوی تشکیل شده‌اند که آثار نامطلوبی از جمله سمیت حاد و مزمن، سرطانزایی، جهش زایی و حسّاسیت زایی دارند و از سوی دیگر، رنگ‌ها می‌توانند به دلیل ممانعت از عبور نور بر فعالیت فتوسترنز موجودات آبزی تاثیر گذار باشند و به جهت وجود ترکیبات آروماتیکی و سمی برای حیات آبریان خطربناک باشند. فاصله‌های رنگی، به دلیل وجود ساختارهای شیمیایی متنوع، مقاومت در برابر تصفیه بیولوژیکی و دامنه pH متغیر، جزء آلاینده‌های سخت تجزیه پذیر محسوب می‌شوند.^{۷,۸} با توجه به اینکه رنگزها عمدها ماهیت سنتزی و ساختار مولکولی پیچیده‌ای دارند، آنها را پایدار و مقاوم در برابر تخریب می‌نماید.^۹ روش‌های معمول تصفیه فیزیکی و شیمیایی همانند انعقاد و یا جذب سطحی، قادر به تخریب مواد رنگزای آلی نبوده و فقط می‌توانند این ترکیبات را از یک

، مورد بررسی قرار گرفت.

مواد و روش‌ها

این مطالعه بصورت تجربی در مقیاس آزمایشگاهی انجام شد، از یک راکتور با جریان نیمه پیوسته از جنس کوارتز با حجم ۵۰۰ میلی لیتر مجهز به لامپ UV با قدرت ۹ وات برای آزمایش‌ها استفاده شد. تصویر راکتور در شکل ۱ آمده است.

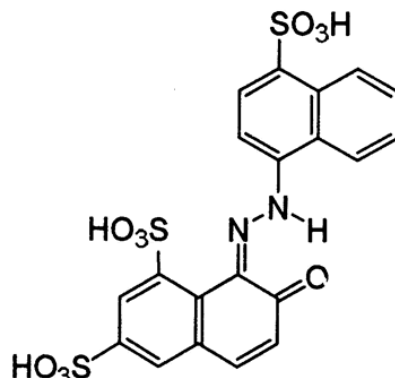
در این تحقیق ازنگزای AR18 محصولی از شرکت الوان ثابت استفاده شد. مشخصات کامل رنگزا در جدول ۱ و فرمول ساختمانی آن در شکل ۲ ارائه شد. به منظور تنظیم pH از اسید سولفوریک و هیدروکسید سدیم ۱/۰ نرمال استفاده گردید. همچنین هیدروژن پراکسید ۳٪ در مقادیر مشخص استفاده شد. برای تهیه نانو ذرات ZnO-Ag-Nd از نیترات نقره، نیترات نئودمیوم و نیترات روی استفاده شد همچنین از گلوگر به عنوان سوخت استفاده گردید.



شکل ۱: تصویر شماتیک فتوراکتور

منفی اضافه،^۵ در لایه رسانش ایجاد می‌کند که می‌تواند به ترتیب، با اکسایش و کاهش در واکنش شرکت کنند.^۶ پس از برانگیخته شدن الکترون نیمه رسانا، حامل‌های بار می‌توانند به سطح کاتالیست رفتند، واکنش‌های اولیه کاهش را با مواد جذب شده بر سطح کاتالیست آغاز نمایند.^۷ الکترون‌های برانگیخته شده می‌توانند تنها در کسری ازثانیه در باند رسانش باقی بمانند. الکترون حفرات ایجاد شده در اثر برانگیختگی الکترون‌ها می‌توانند باز ترکیب شوند. با اصلاح نیمه رسانا می‌توان حساسیت نوری آنرا افزایش داد و عملکرد فتوکاتالیست را به سوی نور با طول موج مرئی سوق داد. مهم ترین و متداول ترین روش اصلاح فتوکاتالیست، دوب کردن آن با عنصر فلزی و یا نافلزات می‌باشد.^۸ اگرچه برخی از فلزات مانند Ag باوسیله روش‌های مختلف همچون فتوشیمیایی، سل‌ژل، همرسوبی و روش احتراقی محلول به کمک مایکرویو سنتز و دوب شده اند، اما در میان این روش‌ها روش احتراقی محلول به کمک مایکرویو بهترین روش برای رنگبری رنگزای آزوئی شناخته شده است.^۹ علاوه بر این مطالعات نشان داد افزایش استفاده از لانتایدها به عنوان دوپنگ بر روی ذرات ZnO باعث افزایش رنگبری می‌گردد.^{۱۰} همچنین مطالعات انجام شده نشان داد افزودن پراکسید هیدروژن به کاتالیست موجب افزایش رنگبری به میزان قابل توجهی می‌گردد.^{۱۱} بدین منظور در این پژوهش به بررسی راندمان تخریب رنگزای اسید رد ۱۸ (AR18) با استفاده از فتوکاتالیست اصلاح شده با نقره و نئودمیوم برداشت احتراقی محلول به کمک امواج ماکروویو، پرداخته شده است. سپس آزمایشات فتوکاتالیستی نمونه سنتز شده به منظور بررسی اثر دوز کاتالیست، pH محلول رنگزا، غلظت اولیه رنگزا و دمای افروختن H₂O₂ به ذرات نانوفتوکاتالیست میزان رنگبری رنگزای AR18 مورد بررسی قرار گرفت. آزمایشات رنگبری فتوکاتالیست سنتز شده و H₂O₂ با استفاده از مدل سطح پاسخ

مختلف آنالیز مورد بررسی قرار گرفت. بررسی مورفولوژی و ویژگی‌های سطح نانوفوتوکاتالیست و تخمین اندازه ذرات با استفاده از آنالیز (FESEM) با دستگاه مدل MIRA3 انجام شد. آنالیز (EDS) مقدار عناصر موجود در سطح فوتوکاتالیست سنتز شده را نشان داد. که از دستگاه ساخت شرکت TESCAN مدل MIRA3 استفاده شد. همچنین بمنظور مشخص کردن توزیع یکنواخت ذرات در سطح کاتالیست از آنالیز MAP با دستگاه MIRA3 استفاده شد. تست (XRD) به منظور شناسایی ماده و ساختار کریستالی آن با دستگاه مدل 'X' UV-Perkin-Elmer lambda Pert Pro انجام شد. طیف جذب Ultra violet-visible (Vis) توسط دستگاه اسپکتروفوتومتر 25 انجام شد.



شکل ۲: ساختار رنگزای اسیدی قرمز

جدول ۱: مشخصات رنگزای AR18

خواص رنگزای اسیدی قرمز ۱۸	λ_{max}
۶۰۴/۴۸ g/mol	جرم مولکولی
C ₂₀ H ₁₁ N ₂ Na ₃ O ₁₀ S ₃	فرمول مولکولی

روش انجام آزمایش‌ها

عملکرد فتوکاتالیستی نانوذرات سنتز شده در فتوراکتور ساخته شده، جهت رنگبری رنگزا AR18 داخل راکتور معرفی شده موربد بررسی قرار گرفت. نمونه برداری در بازه زمانی مشخص از محلول در حال واکنش انجام گرفته و قبل از قرائت جذب نمونه‌ها توسط اسپکتروفوتومتر، آماده سازی نمونه‌ها بوسیله سانتریفیوژ انجام شد و سپس راندمان رنگبری توسط رابطه ۱ محاسبه شد.

$$\text{رابطه ۱} \quad (\%)Dec = \left(\frac{A_t - A_0}{A_0} \right) \times 100$$

که در آن A_0 عدد جذب در زمان t_0 عدد جذب در زمان t می‌باشد.

سپس میزان رنگبری پراکسید هیدروژن بر محلول رنگزا در غلظت‌های مختلف مورد بررسی قرار گرفت در گام بعدی تاثیر رنگبری در استفاده همزمان پراکسید هیدروژن و فتوکاتالیست سنجیده شد. در ادامه طراحی مطالعه با استفاده از نرم افزار طراحی آزمایش (Design Expert) و به منظور تعیین فاکتورهای اصلی و اثر متقابل بین آن‌ها و اثرات مربعی، با هدف کمترین تعداد آزمایش و صرفه جویی در زمان و هزینه،

روش سنتز فتوکاتالیست

برای تهیه ZnO-Ag-Nd از روش احتراقی محلول به کمک مایکروویو استفاده شد. برای ساخت نمونه به روش احتراقی مقدار ۵ گرم نیترات روی با خلوص بالا ساخت شرکت مرك به همراه ۱/۱۵ گرم گلوكز به عنوان سوخت به ۲۰ cc آب دی‌يونيزه اضافه گردید و مقادیر ثابت یک دهم گرم نیترات نقره و یک دهم گرم نیترات نودمیم به عنوان عامل دوپنت به نمونه افزوده شد. سپس نمونه در دمای ۸۰° حرارت داده شد با تبخیر آب نمونه، یک ژل زرد رنگ تشکیل شد. در ادامه ژل به دست آمده به مدت یک دقیقه تحت امواج ماکروویو با قدرت ۹۰۰ وات قرار داده شد تا احتراق در نمونه صورت پذیرد. نتیجه بدست آمده فومی متخلخل به رنگ بنفش بود. این فوم توسط آسیاب خرد شد.^{۲۶}

ساختار شناسی فتوکاتالیست سنتز شده

خصوصیات نانوفوتوکاتالیست سنتز شده با روش‌های

از احتراق و سوختن سوخت نظیر (CO_2 , NO_2 , N_2) نسبت داده می‌شود. با نگاهی دقیق به این فرم می‌توان دریافت که این فرم‌های متخلخل خود از به هم پیوستن نانو ذراتی کروی تشکیل شده‌اند که اندازه این ذرات در حدود ۲۰ نانومتر است و از یکنواختی و توزیع مناسبی نیز برخوردار هستند. برای شناسایی ترکیب عنصری مواد سنتز شده، از روش EDS استفاده شد نتایج حاصل از آنالیز در شکل ۳-ج نشان داده شد و درصد عناصر تشکیل دهنده در نمونه سنتز شده در جدول ۲ مشخص گردید. طیف بدست آمده نشان دهنده وجود اتم‌های روی، اکسیژن، نقره و نئودمیوم در نمونه می‌باشد. شدت پیک زیاد عنصر Zn نشان میدهد که قریب به ۸۴/۵۱ درصد ساختار ترکیب نانوذرات را اکسید روی تشکیل می‌دهد که به عنوان ساختار میزان مطرح است. بر اساس نتایج به دست آمده از سه نقطه مختلف سطح نمونه، درصد وزنی متوسط دوپیت نقره و نئودمیوم، درصد وزنی ۳/۶۹ و ۲/۶۳ می‌باشد. همچنین شکل ۳-د توزیع و یکنواختی مناسب عناصر در سطح کاتالیست توسط آنالیز Map را تایید کرد.

اثر پارامترهای موثر بر فرایند حذف

الف: اثر پرتودهی نور ماوراء بنفش بر فرایند

به منظور ارزیابی تاثیر تابش نور UV بدون حضور کاتالیست بر میزان رنگبری AR18، آزمایشاتی با محلولی به غلظت ۲۰ ppm در طی مدت ۱۸۰ دقیقه انجام شد و درصد رنگبری ماده‌ی رنگزا بر حسب زمان گزارش شد که نتایج در نمودار ۱-الف نشان داده شده است. همانطور که در شکل قابل ملاحظه است، حداقل میزان رنگبری در طی مدت، ۱۶/۶۵٪ بدست آمد که مقداری مطلوبی نمی‌باشد.

از روش شناسی سطح پاسخ (Response Surface Methodology (RSM)) استفاده شد. در این مطالعه با استفاده از نرم افزار طراحی آزمایش به بررسی تأثیر فاکتورها و مقدار نانوفوکاتالیست، H_n نمونه رنگزا، غلظت پراکسید هیدروژن بر راندمان حذف رنگزا پرداخته شد.

یافته‌ها

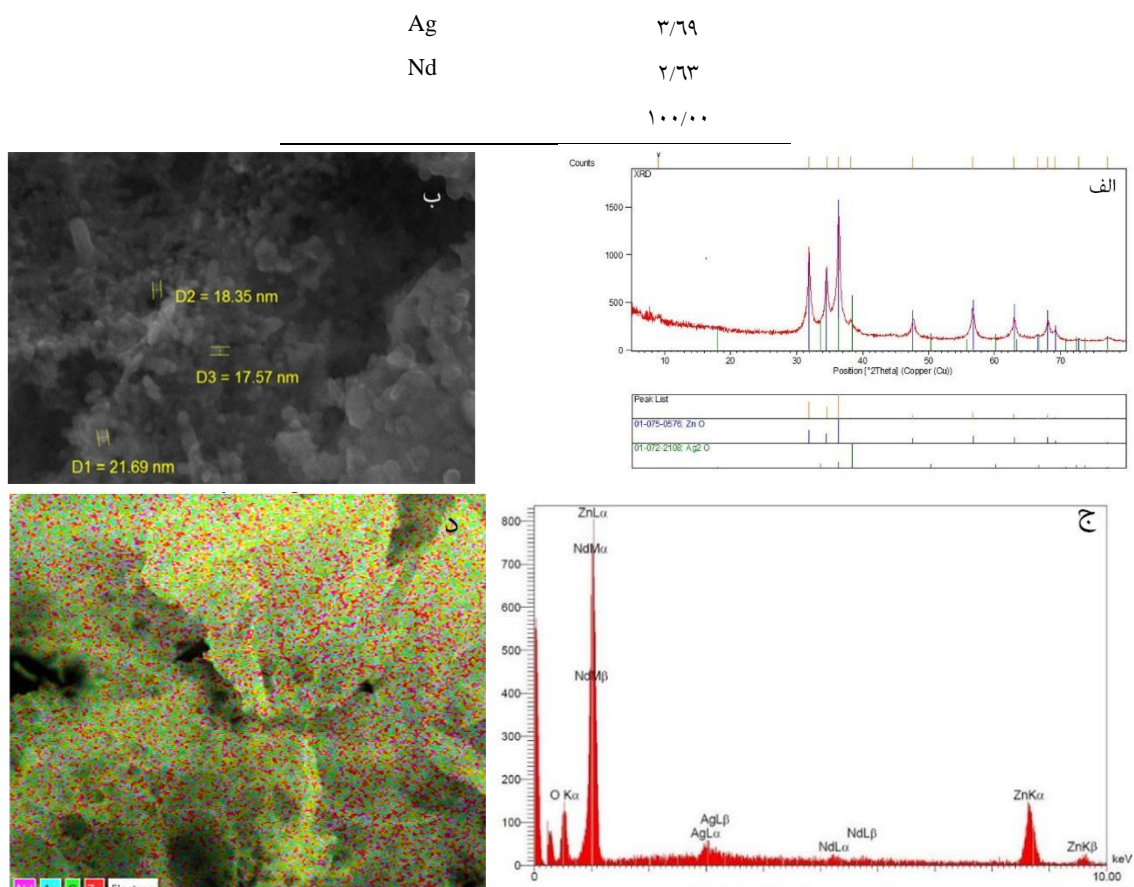
آنالیز مشخصات نانوفوکاتالیست

شناسایی ترکیبات شیمیایی و ساختار کریستالی کاتالیست توسط دستگاه XRD با تابش در محدوده زاویه شکست ۸۰°-۰° انجام شد. شکل ۳-الف الگو پراش اشعه ایکس نمونه سنتز شده را نشان می‌دهد. پیک‌های تیز و شاخص ZnO با ساختار هگزگونال و ورتزیتی در موقعیت ۳۱ و ۳۴ و ۳۶ و ۴۷ و ۵۶ درجه مربوط به دسته صفحات (۱۰۰) (۱۱۰) (۱۰۱) (۱۰۲) (۱۱۰) هستند^۵ اندازه شبکه کریستالی در این نمونه با استفاده از رابطه شر器 در حدود ۴۲ نانومتر در نظر گرفته شد که مطابقت خوبی با کارت استاندارد اکسید روی دارد. این اندازه با افزودن دوپیت به نمونه اولیه دست خوش تغییر می‌شود اما این تغییرات چندان در پیک‌های پراش یافته نمود نداشت می‌توان گفت همه یون‌های نقره و نئودمیوم به صورت دوپیت در شبکه کریستالی میزان قرار گرفته‌اند. شکل ۳-ب مورفولوژی نمونه سنتز شده را نشان می‌دهد. تصاویر نمونه اکسید روی خوش‌هایی از ذرات به هم چسبیده را نشان می‌دهد که با قرار گرفتن در کنار هم یک فرم توخالی را به وجود آورده‌اند. این فرم دارای تخلخل‌هایی با اندازه‌های متفاوت است که به نوع سنتز احتراقی و خروج گازهای ناشی

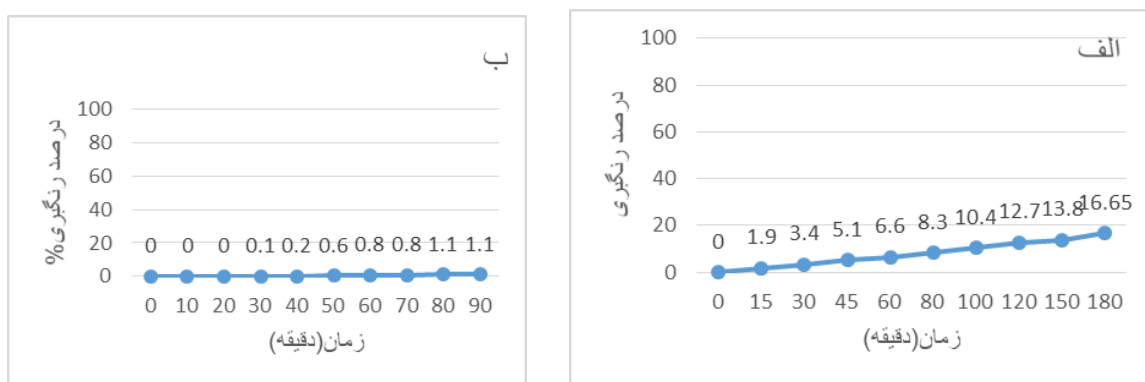
جدول ۲: درصد عناصر تشکیل دهنده در نمونه سنتز شده

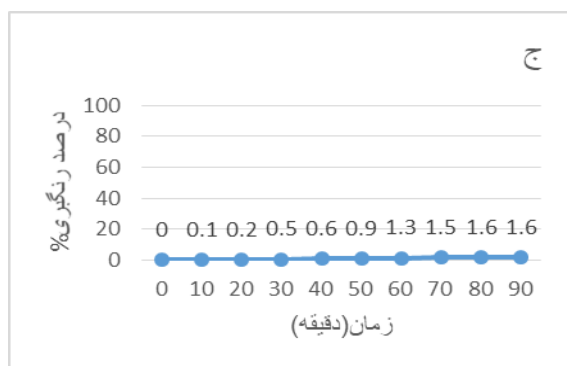
عنصر	درصد وزنی (%)
O	۹/۷
Zn	۸۴/۵۱

اثر برهم کنشی پراکسید هیدروژن و نانوفوتوکاتالیست های احتراقی در حذف مواد رنگزا از محیط های آبی



شکل ۳: تصاویر آنالیز نمونه ستز شده الف: XRD ب: FESEM ج: EDS





نمودار ۱: (الف) اثر میزان رنگبری در حضور نور UV به تنها ی (ب) اثر فتوکاتالیست به تنها ی (ج) اثر هیدروژن پر اکسید بدون حضور نور UV

داشته است اما با ادامه افزودن دوز کاتالیست، میزان رنگبری چهار کاهش شده است. دلیل این امر این است که در پسی افزایش مقدار کاتالیست، تعداد سایتها فعال در سطح کاتالیست افزایش یافته و این امر باعث افزایش رادیکال‌های OH[·] می‌شود. همزمان با این اتفاق، افزایش بیش از حد فوتوكاتالیست، موجب پراکنده کردن نور و کاهش نفوذ نور به داخل محلول می‌شود و در نتیجه تعداد کل فوتون‌هایی که به ذرات کاتالیستی می‌رسند و همچنین تولید رادیکال‌های هیدروکسیل کاهش می‌یابد که این خود اثر نامطلوبی بر رنگبری ماده‌ی رنگزا خواهد داشت^۰ طبق نتایج به دست آمده، حداقل میزان رنگبری در غلظت ۲۰ ppm در مقدار کاتالیست ۹۸/۳۵٪^۱ با راندمان رنگبری g.L^{-۱} بدست آمده‌ی گام بعدی برای بدست آوردن pH بهینه، آزمایش‌ها در مقدار کاتالیست ۰/۰۸ g.L^{-۱} و غلظت اولیه‌ی رنگزا ۲۰ ppm در بازه pH=۳-۹ مورد بررسی قرار گرفت. نتایج نشان داد در بالا عملکرد فوتوكاتالیستی تحت تاثیر نیتروی دافعه الکتروستاتیکی بین کاتالیست و رنگ قرار می‌گیرد که موجب کاهش راندمان رنگبری می‌گردد.^{۲۷} همچنین راندمان رنگبری در pH پایین بدليل تمايل ZnO به حل شدن کاهش می‌یابد.^۰ بدین ترتیب pH = ۶/۲۱ به عنوان pH بهینه باراندمان رنگبری ۹۸/۳۵٪^۱ انتخاب شد. در ادامه اثر غلظت اولیه‌ی رنگزا بر سرعت رنگبری در غلظتهاي ppm ۱۰، ۲۰ و ۳۰ در حضور

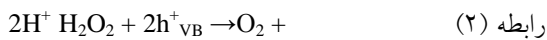
ب: اثر کاتالیست به تنها ی بر فرایند
حذف آلینده‌ها توسط فتوکاتالیست (به تنها ی)، با مقدار ۰/۰ گرم بدون حضور نور UV انجام شد که نتایج آن در نمودار ۱-ب آمده است که راندمان پایین آن، ناشی از عدم وجود سایتها فعال در فتوکاتالیست می‌باشد.

ج: اثر هیدروژن پر اکسید بر فرایند
حذف آلینده‌ها توسط هیدروژن پر اکسید بدون حضور نور UV به مدت ۹۰ دقیقه مورد بررسی قرار گرفت که نتایج آن در نمودار ۱-ج آمده است. نتایج حاکی از درصد بسیار پایین رنگبری بدليل عدم تشکیل رادیکال پر اکسید می‌باشد.
نمودار ۱: (الف) اثر میزان رنگبری بر حسب زمان در حضور نور UV به تنها ی (ب) اثر فتوکاتالیست به تنها ی (ج) اثر هیدروژن پر اکسید بدون حضور نور UV

بررسی پارامترهای کلیدی موثر بر فرایند

قبل از بررسی اثر پر اکسید هیدروژن می‌بایست شرایط بهینه سایر پارامترها بدست آید. به این دلیل اثربارهای کلیدی همچون مقدار کاتالیست، pH محلول رنگزا و غلظت اولیه محلول رنگزا مورد مطالعه قرار گرفت تا اثر پر اکسید هیدروژن پس از دستیابی به نقاط بهینه فرایندی مورد بررسی قرار گیرد. دز ابتدابه منظور بررسی مقدار کاتالیست، از محلول‌هایی با میزان دوز کاتالیست ۰/۰۲ g.L^{-۱} تا ۰/۱ و غلظت اولیه ماده‌ی رنگزا ۲۰ ppm استفاده شد. در پسی افزایش دوز کاتالیست تا مقدار ۰/۰۸ g.L^{-۱}، رنگبری روندی رو به افزایش

باندظرفیت و رادیکال‌های هیدروکسیل عمل می‌کند. رادیکال HO_2^{\cdot} که طی واکنش‌های زنجیره‌ای ایجاد می‌شود اکسیدکننده خوبی است اما پتانسیل اکسیدگی آن بسیار کمتر از رادیکال هیدروکسیل است بنابراین رادیکال هیدروژن پراکسید اضافی تأثیر مثبتی بر رنگبری نخواهد داشت.^{۲۸}



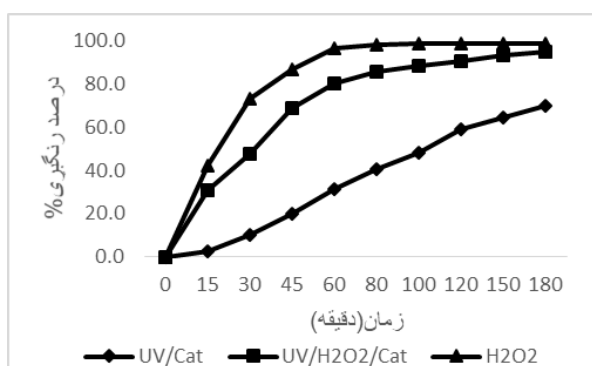
اثر هیدروژن پراکسید و کاتالیست بطور همزمان

با توجه به نتایج بدست آمده در نمودار ^۳ میتوان دریافت افزودن مقدار بهینه پراکسید هیدروژن به کاتالیست بهینه، باعث افزایش راندمان رنگبری کاتالیست خواهد شد اما افزودن کاتالیست به مقدار بهینه پراکسید هیدروژن راندمان رنگبری را افزایش نداده و مدت زمان رنگبری برای رسیدن به میزان مطلوب در مقایسه با پراکسید هیدروژن بنهایی افزایش یافته است که این امر حاکی از ایجاد کدورت به دلیل وجود ذرات کاتالیست می‌باشد که مانع از پرتودهی کامل به هیدروژن پراکسید و تجزیه آن به رادیکال‌های فعال می‌شود.

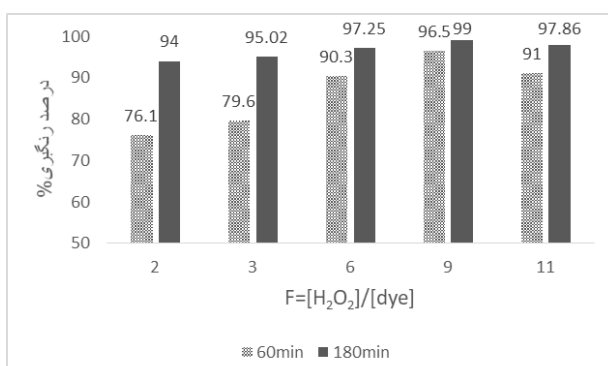
فوتوکاتالیست با دوز 0.08 g بر لیترو $\text{pH}=6/21$ مورد بررسی قرار گرفت نتایج نشان داد زمانیکه غلظت ماده‌ی رنگزا افزایش یابد، درصد رنگبری کاهش می‌یابد این امر بدین دلیل است که در پی افزایش غلظت رنگزا، مولکول‌های رنگ بیشتری بر روی سطح کاتالیست جذب شده و از این رو نور کمتری می‌تواند به سطح کاتالیست برسد و سایتها فعال کمتری از کاتالیست برای تولید هیدروکسیل در دسترس می‌باشند.^{۱۹} از طرف دیگر با افزایش غلظت رنگزا، نور کمتری می‌تواند از میان محلول نفوذ کرده و به سطح کاتالیست برسد^{۲۷} بدین ترتیب حداقل میزان رنگبری در غلظت 10 ppm با راندمان $99/73\%$ بدست آمد.^{۲۶}

اثر هیدروژن پراکسید با حضور نور UV بر فرایند رنگبری

در این بخش تأثیر پراکسید هیدروژن به‌تهیایی در غلظت‌های متفاوت بر رنگبری رنگزا مورد بررسی قرار گرفت. همان‌طور که در نمودار ^۲ مشاهده می‌شود، اثر تغییر غلظت H_2O_2 با پارامتر $F=[\text{H}_2\text{O}_2]/[\text{dye}]$ آورده شده است. با افزایش میزان F ابتدا شب رنگبری مثبت بوده سپس خطی می‌شود و تغییر محسوسی در درصد رنگبری رخ نمی‌دهد. وقتی میزان غلظت H_2O_2 از میزان بهینه فراتر می‌رود، H_2O_2 مطابق رابطه ^۴ بعنوان مصرف کننده‌حفره‌های



نمودار ۳: اثر هیدروژن پراکسید و کاتالیست بطور همزمان



نمودار ۴: اثر غلظت‌های متفاوت هیدروژن پراکسید در رنگبری

۲۸.۲۹ قرار گرفت که در روابط ۵-۷ آورده شده است.

$$\Delta G = -RT \ln(K) \quad (5)$$

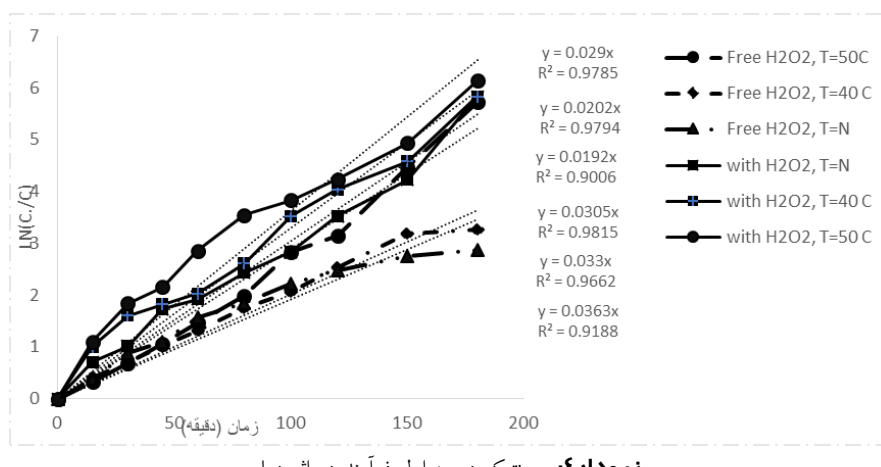
$$\Delta G = \Delta H - T \cdot \Delta S \quad (6)$$

$$\ln(K) = -\frac{\Delta H}{RT} + \frac{\Delta S}{R} \quad (7)$$

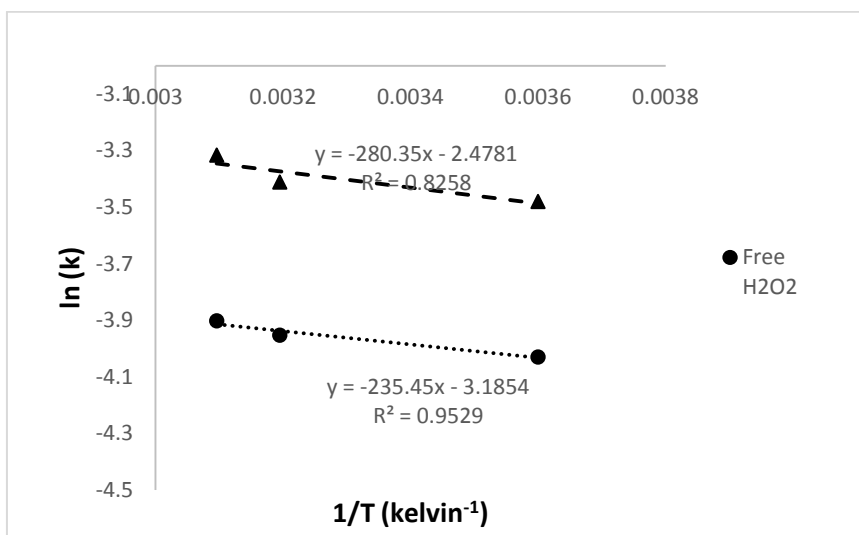
در این روابط، ΔG انرژی آزاد گیبس بر حسب J/mol ، ΔH آنتالپی بر حسب J/mol ، ΔS آنتروپی بر حسب J/mol ، R ثابت جهانی گاز، T دمای اولیه محلول بر حسب کلوین و K ثابت واکنش است.

مطالعات ترمودینامیکی

به منظور بررسی بیشتر اثر هیدروژن پراکسید و کاتالیست در فرآیند رنگبری، مطالعات ترمودینامیکی در سه دمای نرمال (۴۰ و ۵۰ درجه سانتی گراد) در حضور کاتالیست بهایی مطالعه قرار گرفت.^{۲۹} در ادامه به بررسی پارامترهای ترمودینامیکی فرآیند اعم از انرژی آزاد گیبس، آنتالپی و تغییرات آنها در اثر اضافه شدن هیدروژن پراکسید به فرآیند پرداخته شد. در همین راستا، برای محاسبات پارامترهای مذکور، اثر دما مورد مطالعه



نمودار ۵: سیتیک درجه اول فرآیند در اثر دما



نمودار ۵: نمودار Van't Hoff

نرم افزار Design Expert صورت گرفت. واکنش تحریب رنگزا، به عنوان تابعی از فاکتورهای دوز کاتالیست، pH محلول رنگزا و غلظت پراکسیدهیدروژن توسط مدل CCD محاسبه شد (جدول ۴). در این جدول با توجه به نتایج تجربی بدست آمده، مقادیر سطوح مختلف فاکتورهای انتخاب شده تعیین گردیده است. در مورد مقادیر پراکسید هیدروژن با توجه به نزدیکی نتایج و راندمان بالای بخش تجربی و برای لحاظ نمودن شرایط واکنش بدون حضور پراکسید، مقادیر موجود در جدول انتخاب گردید. آزمایشات طراحی شده توسط مدل، مطابق جدول ۵ در زمان واکنش ۱۸۰ دقیقه و در غلظت ۳۰ ppm انجام شد و نتایج تجربی به دست آمد.

با مطابقت ثابت سیستمیک درجه اول با فرآیند و محاسبات اثر دما بر فرآیند، نموداره Van't Hoff برای بدست آوردن ثوابت ترمودینامیکی رسم گردید.

با توجه به نمودارهای رسم شده و معادلات مربوط به روابط ترمودینامیکی، ثوابت ترمودینامیکی بدست آمد نتایج را ائه شده در جدول ۳ بیان کننده افزایش انرژی آزاد گیس در حضور هیدروژن پراکسید می‌باشد که عامل افزایش رنگبری می‌باشد. همچنین نتایج بدست آمده گرمایشی بودن واکنش‌ها را نشان داد.

مدلسازی به روش سطح پاسخ

مدلسازی این پروژه با روش طراحی ترکیب مرکزی و در

جدول ۳: پارامترهای ترمودینامیکی فرآیند در حضور و عدم حضور هیدروژن پراکسید

فرآیند	$\Delta G \text{ (kJ/mol)}$			$\Delta S \text{ (kJ/mol.k)}$	$\Delta H \text{ (kJ/mol)}$
	T=normal	T=۴۰ °C	T=۵۰ °C		
بدون هیدروژن پراکسید	۱۰/۴۹۱	۱۰/۸۸۷	۱۱/۱۵۱	-۰ / ۰ ۲۶۴۳	۱ / ۹۵
در حضور هیدروژن پراکسید	۲۲/۴۱۵	۲۳/۲۳۱	۲۳/۷۷۳	-۰ / ۰ ۲۰۵۶	۲ / ۳۲۶

جدول ۴: مقادیر حقیقی و کدگذاری شده فاکتورها و سطوح

سطوح و محدوده‌ها			فاکتورهای کد شده	متغیرها
۱	۰	-۱		
۰/۱	۰/۰۸	۰/۰۶	A	دوز کاتالیست (mg/L ⁻¹)
۹	۶	۳	B	pH
۶	۳	۱	C	H ₂ O ₂

جدول ۵: طراحی آزمایشات لازم به منظور مدل سازی فرآیند

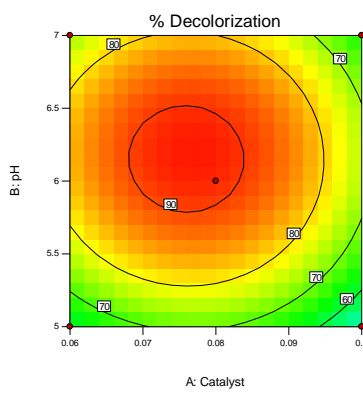
Runs	A	B	C	Decolorization (%)
۱	۰/۰۶	۷	۶	۷۱/۶۳۵
۲	۰/۰۸	۵	۳	۶۰/۷
۳	۰/۰۸	۶	۳	۸۲/۱۹۵
۴	۰,۰۸	۶	۰	۷۰/۲۷۵
۵	۰,۱	۷	۶	۵۹/۸۹۱
۶	۰/۰۶	۵	۰	۴۱/۲۶۸
۷	۰/۰۸	۶	۳	۸۳/۰۷۴
۸	۰/۰۸	۶	۶	۹۳/۵۴
۹	۰/۰۸	۷	۳	۷۱/۸۴
۱۰	۰/۰۶	۵	۶	۶۲/۰۸۱
۱۱	۰,۱	۷	۰	۴۲/۴۸
۱۲	۰/۰۸	۶	۳	۷۹/۳
۱۳	۰/۰۸	۶	۳	۸۱/۹۶۲
۱۴	۰/۰۸	۶	۳	۸۲/۳۴۷
۱۵	۰,۰۶	۶	۳	۷۲/۳۷۱
۱۶	۰,۱	۵	۰	۳۳/۲۵۴
۱۷	۰,۰۶	۷	۰	۵۲/۸۹۱
۱۸	۰/۰۸	۶	۳	۷۹/۵
۱۹	۰,۱	۵	۳	۶۴/۸۱۵
۲۰	۰,۱	۵	۶	۵۰/۹۲۹

سنجهش اعتبار داده‌ها یکی از شرایط بهینه ارائه شده توسط نرم افزار بدون حضور پراکسید $pH=6/21$ و کاتالیست g/L ¹ با راندمان $73/21$ به صورت تجربی نیز مورد بررسی قرار گرفت که تکرار آزمایشات و حصول راندمان $71/62$ و $71/97$ نزدیکی داده‌های تجربی و تئوری را تایید نمود.

all	0				
Lack of Fit	14.43	5	2.89	1.14	0.445
Pure Error	12.67	5	2.53		0
Cor Total	5028.	1			
	69	9			

رابطه (۸)

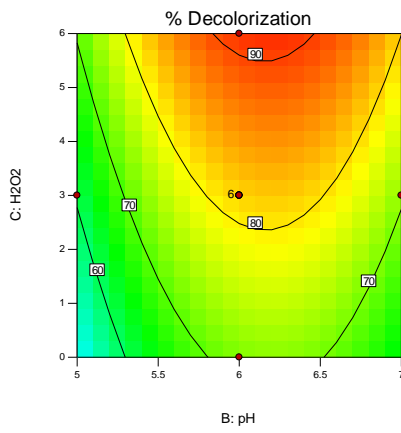
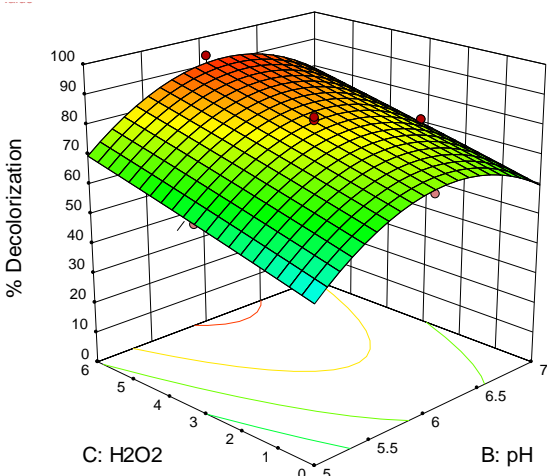
$$Y = 81.716 - 4.867A + 5.035B + 9.81C - 0.348AB - 0.583AC + 0.266BC - 13.603A^2 - 15.962B^2 - 0.288C^2$$



با وارد کردن نتایج آزمایش مد نظر نرم افزار و در نظر گرفتن مدل quadratic جزئیات مدل محسابه شده و در جدول آنالیز واریانس ANOVA آورده شده است. با توجه به مقادیر مختلف p-value که در محدوده کمتر از 0.05 قراردارند این پارامترها، پارامترهای موثر بر روندانجام فرایند می‌باشند. نمودار تقابلی فاکتورها در شرایط مختلف به صورت ۳ بعدی و گراف کانتور در نمودار ۶ آورده شده است. همچنین معادله مدل (رابطه ۸) از نرم افزار استخراج شد در ادامه برای

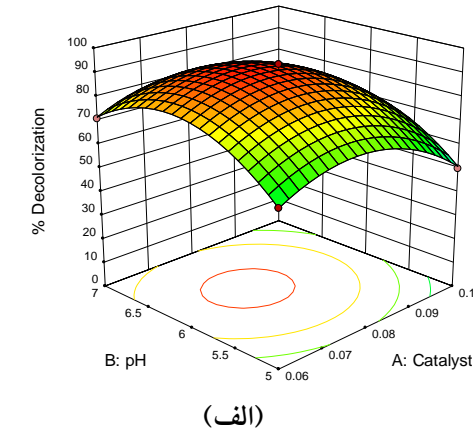
جدول ۶: آنالیز مشخصات مدل Quadratic

Source	Sum of Squares	df	Mean Square	F Value	F Prob > F
Model	5001.9	9	555.7	205.1	< 1
	59	3	3	0.000	
A-Catalyst	236.9	1	236.9	87.46	< 1
	5	5	0.000		
B-pH	253.0	1	253.0	93.41	< 1
	6	6	0.000		
C-H2O2	962.5	1	962.5	355.2	< 1
	2	2	0.000		
AB	0.97	1	0.97	0.36	0.562
					4
AC	2.73	1	2.73	1.01	0.339
					4
BC	0.57	1	0.57	0.21	0.656
					6
A^2	508.8	1	508.8	187.8	< 1
	7	7	0.000		
B^2	697.5	1	697.5	257.4	< 1
	1	1	0.000		
C^2	0.23	1	0.23	0.085	0.777
					2
Residu	27.09	1	2.71		

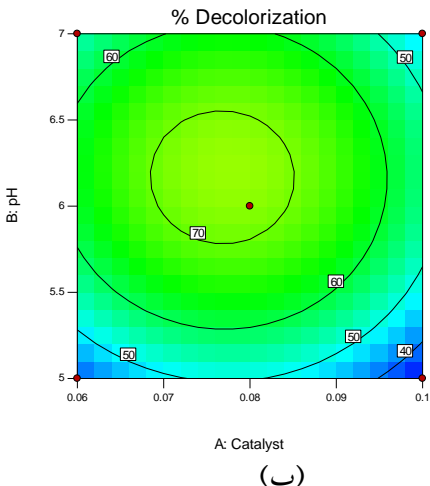
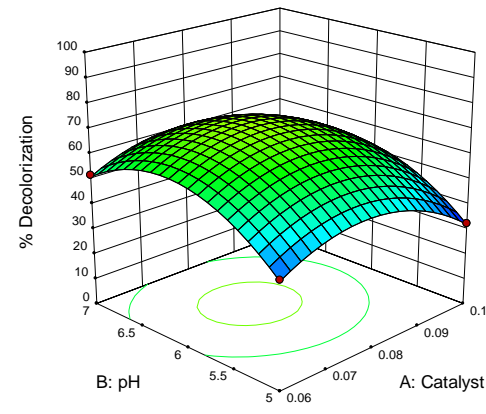


(ج)

نمودار ۶: (الف) در شرایط غاظت بیشینه هیدروژن پراکسید (ب) در شرایط بدون غاظت هیدروژن پراکسید (ج) در شرایط بهینه کاتالیست ۰/۰۸ گرم بر لیتر)



(الف)



(ب)

مطالعات نشان داد حداقل میزان رنگبری در زمان استفاده از پراکسید هیدروژن بتنهایی و در غاظت F=۹ به میزان ۹۹ درصد می باشد. در گام بعدی نتایج عملکرد فتوکاتالیست در حذف آلاینده مورد تجزیه و تحلیل قرار گرفت و شرایط بهینه

نتیجه گیری

در این مطالعه بمنظور تعیین اثر برهم کنشی پراکسید هیدروژن و نانوفوتوكاتالیست های احتراقی در حذف مواد رنگزا آزمایشات تجربی انجام شد که نتایج حاصل از این

نشان داد واکنش گرمائیگر بوده و هنگام استفاده از پراکسید هیدروژن مقدار $\Delta G^\circ = -21 \text{ kJ/mol}$ افزایش یافته که نشان دهنده فاکتور تاثیر گذار و مهم رادیکال‌های آزاد در طول تابش اشعه می‌باشد. همچنین مدل‌سازی فرایند انجام شد که نتایج بدست آمده بیانگر انطباق مناسب نتایج تئوری و تجربی بود.

تقدیر و تشکر

نویسنده‌گان از همکاری پژوهشگاه رنگ و همچنین آقای مهندس علیرضا نعیمی در راستای انجام این پژوهه پژوهشی کمال سپاس را دارند.

References

- Agorku ES, Mamo MA, Mamba BB, Pandey AC, Mishra AK. Palladium-decorated zinc sulfide/reduced graphene oxide nanocomposites for enhanced visible light-driven photodegradation of indigo carmine. Mater Sci Semicond Process 2015;33:119-26.
- Olya ME, Pirkarami A, Soleimani M, Bahmaei M. Photoelectrocatalytic degradation of acid dye using Ni-TiO₂ with the energy supplied by solar cell: mechanism and economical studies. J Environ Manag 2013;121:210-9.
- Hadjltaief HB, Zina MB, Galvez ME, Da Costa P. Photocatalytic degradation of methyl green dye in aqueous solution over natural clay-supported ZnO-TiO₂ catalysts. J Photochem Photobiol Chem 2016;315:25-33.
- Kong J-Z, Li A-D, Zhai H-F, Gong Y-P, Li H, Wu D. Preparation, characterization of the Ta-doped ZnO nanoparticles and their photocatalytic activity under visible-light illumination. J Solid State Chem 2009;182(8):2061-7.
- Mohammadzadeh S, Olya M, Arabi A, Shariati A, Nikou MK. Synthesis, characterization and application of ZnO-Ag as a nanophotocatalyst for organic compounds degradation, mechanism and economic study. J Environ Sci 2015;35:194-207.
- Zhou Y, Lu S, Xu W. Photocatalytic activity of Nd-doped ZnO for the degradation of CI Reactive Blue 4 in aqueous suspension. Environmental Progress & Sustainable Energy: An Official Publication of the American Institute of Chemical Engineers. 2009;28(2):226-33.
- Goncalves MS, Oliveira-Campos AM, Pinto EM, Plasencia PM, Queiroz MJR. Photochemical treatment of solutions of azo dyes containing TiO₂. Chemosphere 1999;39(5):781-6.
- YU C-L, YANG K, YU J, Peng P, CAO F-F, LI X, et al. Effects of rare earth Ce doping on the structure and photocatalytic performance of ZnO. Wu Li Hua Xue Xue Bao 2011;27(2):505-12.
- Chandrasekharan N, Kamat PV. Improving the photoelectrochemical performance of nanostructured TiO₂ films by adsorption of gold nanoparticles. J Phys Chem B 2000;104(46):10851-7.
- Choi H, Al-Abed SR, Dionysiou DD, Stathatos E, Lianos P. TiO₂-based advanced oxidation nanotechnologies for water purification and reuse. Sustain Sci Eng 2010;2:229-54.
- Saritha P. Degradation of some USEPA listed recalcitrant compounds using Advanced Oxidation Processes (AOPS). 2011.
- Kommineni S, Zoeckler J, Stocking A, Liang P, Flores A, Rodriguez R, et al. 3.0 Advanced oxidation processes. center for groundwater

بدست آمده برای تخریب ماده رنگزا در مقدار فتوکاتالیست ۰/۰۸ گرم بر لیتر و pH=۷/۲۱ گزارش شد. همچنین نانوفتوکاتالیست سنتز شده توسط تجهیزات آنالیز XRD, EDS, FESEM، مشخصه یابی شد که نتایج کریستالی بودن ذرات سنتز شده توسط آنالیز XRD تایید شد. آنالیز FESEM مورفولوژی سطح را به صورت خوش‌های به هم چسبیده که با قرار گرفتن کنار هم فوم تو خالی را نشان داد. نتایج حاصل از آنالیز EDS وجود عناصر دوپت شده را تایید کرد. در ادامه با افروزن پراکسید هیدروژن به کاتالیست بهینه شده راندمان رنگبری به میزان قابل ملاحظه ای افزایش یافت. اما افزودن کاتالیست به پراکسید هیدروژن بهینه شده باعث کاهش راندمان آن بدلیل ایجاد کدورت گردید. نتایج مطالعات ترمودینامیکی بدست آمده از نمودار وانت هوف

restoration and protection national water research institute. 2000.

13.Mota A, Albuquerque L, Beltrame LC, Chiavone-Filho O, Machulek Jr A, Nascimento C. Advanced oxidation processes and their application in the petroleum industry: a review. *Brazilian J Petrol Gas* 2009;2(3).

14.Sivakumar A, Murugesan B, Loganathan A, Sivakumar P. A review on decolourisation of dyes by photodegradation using various bismuth catalysts. *J Taiwan Inst Chem Eng* 2014;45(5):2300-6.

15.Teh CM, Mohamed AR. Roles of titanium dioxide and ion-doped titanium dioxide on photocatalytic degradation of organic pollutants (phenolic compounds and dyes) in aqueous solutions: a review. *J Alloy Comp* 2011;509(5):1648-60.

16. Zheng Y, Zheng L, Zhan Y, Lin X, Zheng Q, Wei K. Ag/ZnO heterostructure nanocrystals: synthesis, characterization, and photocatalysis. *Inorg chem* 2007;46(17):6980-6.

17. De Lasas HI, Serrano B, Salaices M. Photocatalytic reaction engineering: Springer; 2005.

18.Hong R, Li J, Chen L, Liu D, Li H, Zheng Y, et al. Synthesis, surface modification and photocatalytic property of ZnO nanoparticles. *Powder Tech* 2009;189(3):426-32.

19.Akyol A, Yatmaz H, Bayramoglu M. Photocatalytic decolorization of Remazol Red RR in aqueous ZnO suspensions. *Appl Catal B Environ* 2004;54(1):19-24.

20.Bera D, Qian L, Tseng T-K, Holloway PH. Quantum dots and their multimodal applications: a review. *Materials* 2010; \345-2260:(4)3.

21.Georgekutty R, Seery MK, Pillai SC. A highly efficient Ag-ZnO photocatalyst: synthesis,

properties, and mechanism. *J Phys Chem* 2008;112(35):13563-70.

22.Xie W, Li Y, Sun W, Huang J, Xie H, Zhao X. Surface modification of ZnO with Ag improves its photocatalytic efficiency and photostability. *J Photochem Photobiol Chem* 2010;216(2-3):149-55.

23. Khodadadi MR, Olya ME, Naeimi A. Highly efficient Al-doped ZnO: Ag catalyst for RB19 photocatalytic degradation: Microwave-assisted synthesis and characterization. *Korean J Chem Eng* 2016;33(7):2018-26.

24.Ghalebizade M, Ayati B. Solar photoelectrocatalytic degradation of Acid Orange 7 with ZnO/TiO₂ nanocomposite coated on stainless steel electrode .*Process Saf Environ Protect* 2016;103:192-202.

25.Salem IA. Catalytic decomposition of H₂O₂ over supported ZnO. *Monatsh Chem Chem Mon* 2000;131(11):1139-50.

26.Azadi M, Hasani AH, Olya ME, Borghei SM. Application of ZnO-Ag-Nd Nanocomposite as a New Synthesized Nanophotocatalyst for Degradation of the Organic Compounds: Kinetic, Thermodynamic and Economic Study. *Toxic Ind Health* 2019;35(1):1-10.

27.Olya ME ,Pirkarami A. Cost-effective photoelectrocatalytic treatment of dyes in a batch reactor equipped with solar cells. *Separ Purif Tech* 2013;118:557-66.

28. Basturk E, Karatas M. Decolorization of antraquinone dye reactive blue 181 solution by UV/H₂O₂ process. *J Photochem Photobiol Chem* 2015;299:67-72.

29. Mahmoodi NM, Hayati B, Arami M. Textile dye removal from single and ternary systems using date stones: Kinetic, isotherm, and thermodynamic studies. *J Chem Eng Data* 2010;55(11):4638-49.

Interaction of Hydrogen Peroxide and Nanophotocatalysts Produced Via Combustion Method; Its Influence on Dye Removal of Aquatic Environments

Mahak Azadi¹, Amir Hesam Hassani¹, Mohammad Ebrahim Olya^{2*}, Seyed Mehdi Borghei^{1,3}

1. Department of Environmental Engineering, Faculty of Natural resources and Environment, Science and Research Branch, Islamic Azad University, Tehran, Iran

2. Environmental research department, Institute for color science and technology, Tehran, Iran

3. Department of Chemical and Petroleum Engineering, Sharif University of Technology, Tehran, Iran

* E-mail: olya-me@icrc.ac.ir

Received: 31 Oct 2018; Accepted: 30 Jan 2019

ABSTRACT

Background: Due to the large volume of water consumed in textile industry and producing the colored wastewater containing non-biodegradable organic dyes, in the present study the interaction of hydrogen peroxide and nanophotocatalyst in the advanced oxidation process was investigated.

Methods: In this research, after synthesizing of nanophotocatalyst (ZnO:Ag:Nd) the effect of hydrogen peroxide on dye removal process, and its interaction with the catalyst was investigated. photocatalyst was characterize by (FESEM) Field-emission Scanning Electron (EDS) Energy-dispersive X-ray spectroscopy (XRD) X-ray diffraction methods. Then, the effect of important operating parameters such as dye concentration (10-30 ppm), pH (3-9), The amount of photocatalyst ($0.02\text{-}0.1\text{g.L}^{-1}$) temperature (30-50°C), hydrogen peroxide concentration ($F=2\text{-}11$) was evaluated in AOPs process. Process modeling was done by using the response surface methodology.

Results: The results showed that by adding hydrogen peroxide to photocatalyst particles, the efficiency of decolorization was increased, but the addition of catalyst to the optimum amount of hydrogen peroxide reduced the efficiency of decolorization. Also, the optimum conditions for the removal of dye matter ($\text{pH}=6.21$) and the amount of photocatalyst 0.08g.L^{-1} , $F=9$ was achieved. The results of the thermodynamic studies showed the endothermic reaction of the process, and process modeling indicated that the theoretical result were in accord with the experimental results.

Conclusion: Based on the results, combination of using catalysts and hydrogen peroxide is an effective technique for dye removal of aqueous solution.

Keywords: Nanophotocatalyst, Hydrogen peroxide, Response surface methodology